

ГЕОХИМИЯ

УДК 552.4

**Sm–Nd-ИЗОТОПНАЯ СИСТЕМАТИКА МЕТАМОРФИЧЕСКИХ ПОРОД
ЗАПАДНОЙ ЧАСТИ АЛТАЕ-САЯНСКОЙ СКЛАДЧАТОЙ ОБЛАСТИ**

© 2003 г. А. В. Плотников, Н. Н. Крук, А. Г. Владимиров,
В. П. Ковач, Д. З. Журавлев, Е. Н. Мороз

Представлено академиком Н.Л. Добрецовым 25.05.2002 г.

Поступило 25.06.2002 г.

Региональные изотопно-геохимические исследования являются эффективным инструментом изучения процессов формирования континентальной коры. Sm–Nd-изотопные исследования гранитоидов позволяют выделять изотопные провинции и оценить время проявления корообразующих процессов [1–3 и др.]. Дополнительная информация может быть получена при изотопном исследовании осадочных и метаморфических пород. Вследствие относительного постоянства отношения $^{147}\text{Sm}/^{144}\text{Nd}$ в кластических осадках, значительного его отличия от Sm/Nd-отношения мантийных источников, а также малой изменчивости в процессах выветривания, переноса, диагенеза и метаморфизма [4] изучение изотопного состава Nd-кластических осадочных пород позволяет определить средний* модельный возраст источников их сноса.

В данной работе приводятся первые Sm–Nd-изотопные данные для метапелитов, метабазитов и неметаморфизованных терригенных осадочных пород западной части Алтая-Саянской области (АССО), позволяющие оценить не только средние модельные возрасты источников сноса отдельных комплексов, но и составить представление об изотопном составе коры региона в целом.

Необходимо отметить, что изученные полиметаморфические комплексы западной части АССО традиционно рассматривались как раннепротеро-

зийские выступы кристаллического фундамента и лишь в последнее время – в качестве образований неогея, возникших в результате аккреционно-коллизионных и постколлизионных процессов [5]. Точка зрения о “молодом” возрасте метаморфизма подтверждается изотопными датами палеозойского и даже раннемезозойского возраста [2, 6, 7]. Однако вопрос о геологическом происхождении метаморфических литопластины не решается только методами изотопного датирования, так как наложенные высокотемпературные события нарушают изотопные системы. В этих случаях необходимы Sm–Nd-модельные данные, накладывающие ограничения “снизу” на возможные возрасты наиболее ранних метаморфических событий.

Геологическая позиция изученных комплексов и полученные данные о модельном возрасте слагающих их пород отражены на рис. 1.

Существенно метапелитовые комплексы изучены в пределах Южно-Чуйского и Теректинского хребтов, в северной части Иртышской зоны смятия и Джебашском блоке Западного Саяна (рис. 1, табл. 1).

В районе Теректинского хребта изучены метапелиты теректинского зеленосланцевого комплекса (обр. 5, 6, табл. 1), уймонского глаукофан-зеленосланцевого (обр. 7) и барбышского комплекса эпидот-амфиболитовой фации умеренных давлений (обр. 4). Эти породы сходны по составу с метапелитами джебашской серии Западного Саяна (разрез по р. Она) (обр. 8). Все породы характеризуются высокими содержаниями TiO_2 0.6–1.2 % и $\text{Fe}_2\text{O}_3 + \text{MgO}$ 6–16 %. В целом такие составы наиболее близко отвечают продуктам разрушения современных островных дуг (рис. 2). Nd-модельные возрасты метапелитов Теректинского и Джебашского блоков укладываются в интервал $T_{\text{Nd}}(\text{DM}) = 1.2–1.0$ млрд. лет, что указывает на мезо-неопротерозойский Nd-модельный возраст источников их сноса.

В пределах Южно-Чуйского блока (Алтай-Монгольский террейн) метапелиты эпидот-ам-

* Nd-модельные возрасты осадочных пород, образованных из источников различного возраста, дают средневзвешенное значение времени пребывания в коре Nd этих нескольких источников.

Институт геологии
Сибирского отделения Российской Академии наук,
Новосибирск
Институт геологии и геохронологии докембрия
Российской Академии наук, Санкт-Петербург
Институт геохимии рудных месторождений,
Петрографии и минералогии
Российской Академии наук, Москва

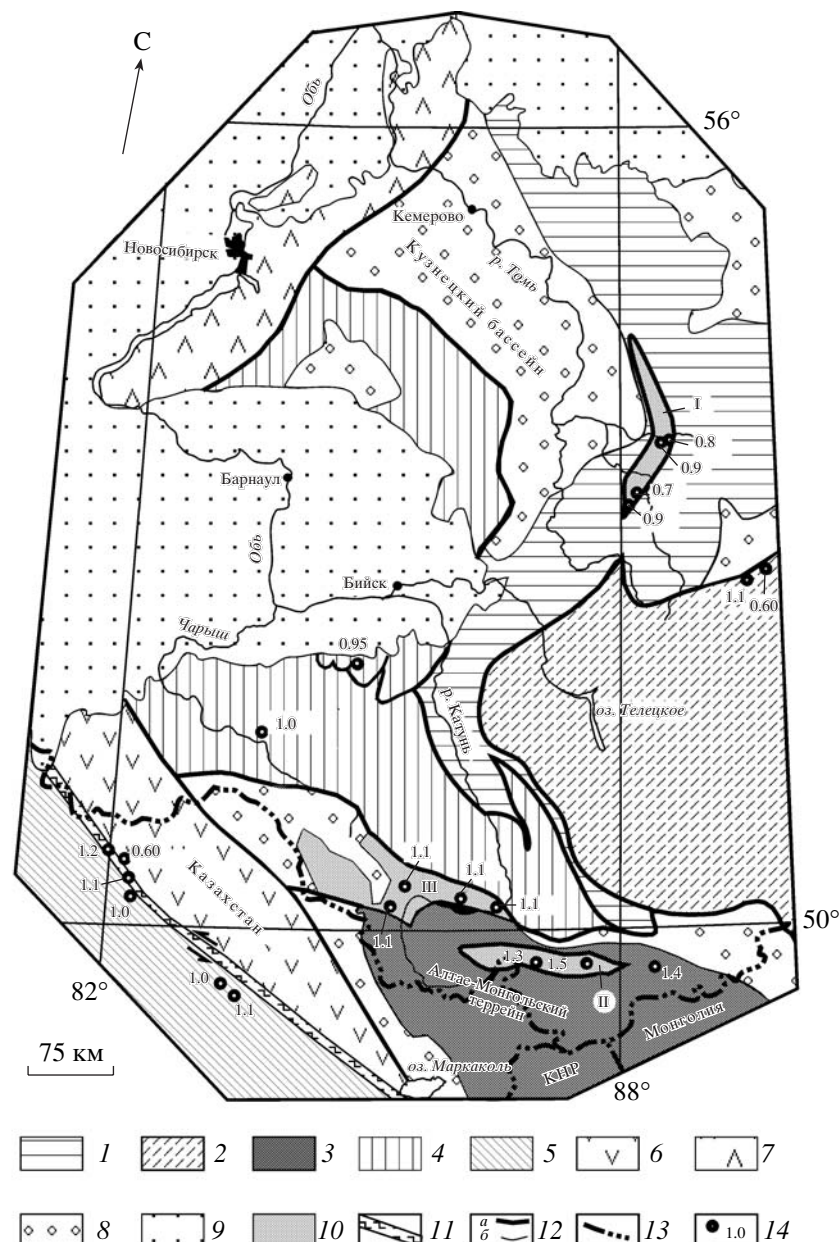


Рис. 1. Тектоническая схема западной части Алтае-Саянской складчатой области (по [11], с изменениями) с вынесенными значениями Sm–Nd-модельных возрастов протолита (млрд. лет) метаморфических и осадочных пород. 1–4 – складчатые системы Алтае-Саянской области (АССО); 1 – Кузнецко-Алтайская, 2 – Саяно-Тувинская, 3 – Монголо-Алтайская, 4 – Салаиро-Горноалтайская; 5–7 – складчатые системы Обь-Зайсанской области: 5 – Калба-Нарымская, 6 – Рудно-Алтайская, 7 – Томь-Кольванская; 8 – средне-позднепалеозойские наложенные прогибы в пределах каледонид АССО; 9 – мезо-кайнозойские отложения; 10 – крупнейшие из опробованных блоков метаморфических пород (I – Томский “выступ”, II – Южно-Чуйский метаморфический блок, III – Теректинский блок, представленный барбышским, теректинским и уймонским метаморфическими комплексами); 11 – Иртышская сдвиговая зона; 12 – границы складчатых систем и разломы (а), контуры впадин и наложенных прогибов (б); 13 – государственные границы; 14 – точки изотопно-геохимического опробования с указанными Sm–Nd-модельными возрастами протолитов (млрд. лет).

фиболитовой и амфиболитовой фаций умеренных и повышенных давлений (обр. 9, 10) сходны по составу с окружающими песчано-сланцевыми породами горноалтайской серии (обр. 16). По своим петро- и геохимическим особенностям они соизвестны с продуктами разрушения коры пере-

ходного типа (примитивные и развитые островные дуги). По этим породам получены самые древние в регионе Nd-модельные возрасты ($T_{\text{Nd}}(\text{DM}) = 1.5\text{--}1.3$ млрд. лет), что указывает на модельный возраст материала, за счет которого образовалось вещество осадочных (V–Є) и мета-

Таблица 1. Sm–Nd-изотопные данные для метаморфических и терригенно-осадочных пород западной части Алтая-Саянской складчатой области

№ п.п.	№ обр.	Sm, мкг/г	Nd, мкг/г	$^{147}\text{Sm}/^{144}\text{Nd}$	$^{143}\text{Nd}/^{144}\text{Nd} (\pm 2\sigma_{\text{cp.}})$	$\varepsilon_{\text{Nd}}(0)$	$T(\text{DM})^*$	$T(\text{DM})^{**}$
М е т а п е л и ты								
1	98-14/19	4.21	21.5	0.1176	0.512346 ± 5	-5.7	1.12	1.28
2	98-17/18	7.94	41.0	0.1159	0.512292 ± 5	-6.7	1.18	1.34
3	98-14/33	5.49	26.5	0.1241	0.512728 ± 6	1.8	0.60	0.72
4	98-2/5	4.98	23.2	0.1286	0.512441 ± 13	-3.8	1.10	1.27
5	98-8/2	3.55	17.2	0.1234	0.512366 ± 12	-5.3	1.16	1.32
6	98-8/17	5.52	27.3	0.1212	0.512417 ± 7	-4.3	1.05	1.21
7	98-3/37	4.41	20.2	0.1311	0.512459 ± 6	-3.5	1.10	1.28
8	Б-141	5.07	23.9	0.1268	0.512393 ± 7	-4.8	1.15	1.33
9	95-11/7	5.76	27.7	0.12565	0.512286 ± 9	-6.9	1.31	1.50
10	95-7/2	4.29	21.4	0.12145	0.512133 ± 7	-9.9	1.48	1.68
Т е р р и г е н н ы е о с а д о ч н ы е п о р о д ы								
11	98-16/5	4.96	25.5	0.1164	0.512389 ± 5	-4.9	1.05	1.19
12	98-16/7	5.70	29.3	0.1164	0.512393 ± 6	-4.8	1.04	1.19
13	98-11/1	5.15	25.8	0.1196	0.512424 ± 10	-4.2	1.03	1.18
14	8-684/2	5.82	29.0	0.1203	0.512435 ± 4	-4.0	1.02	1.17
15	95-1/3	3.59	18.2	0.1194	0.512202 ± 7	-8.5	1.35	1.53
М е т а б а з и ты								
16	93-2/31	4.262	11.640	0.22131	0.513108 ± 7	9.2	1.32	-
17	93-5/11	2.080	5.488	0.22913	0.513156 ± 7	10.1	0.90	-
18	93-6/1	1.758	6.973	0.15243	0.512577 ± 9	-1.2	1.18	1.43
19	93-1/2	8.036	36.640	0.13261	0.512429 ± 6	-4.1	1.17	1.36
20	93-4/9	5.806	28.790	0.12193	0.512622 ± 7	-0.3	0.75	0.88
21	5233/1b	5.590	28.330	0.11930	0.512533 ± 7	-2.0	0.86	1.00
22	3324/1	5.409	21.610	0.15134	0.512634 ± 8	-0.1	1.04	1.26
23	5230/1	8.459	34.690	0.14741	0.512788 ± 7	2.9	0.67	0.84
24	3193/9	6.386	31.880	0.12109	0.512527 ± 6	-2.2	0.89	1.03
25	5231	7.338	29.720	0.14926	0.512822 ± 8	3.6	0.61	0.78
26	Б-267	7.57	31.7	0.1430	0.512804 ± 7	3.2	0.60	0.75

Примечание. Места отбора проб: В о с т о ч н ы й К а з а х с т а н : обр. 98-14/19 – согренский комплекс, силлиманит-гранат-биотитовый гнейс (п. Согра); 98-17/18 – предгорненский комплекс, гранат-кианит-ставролитовый сланец (п. Предгорное); 98-14/33 – бражининский зеленосланцевый комплекс, хлорит-хлоритоидный сланец (восточное обрамление Согренского блока (рудноалтайские структуры), линзы сланцев среди вулканитов пихтовской свиты D₃fm); песчаники и сланцы таирской свиты (D₃–C₁), примыкающие к Иртышской зоне: 98-16/5 – песчаник, 98-16/7 – филлит, 98-11/1 – андалузитовый сланец. Г о р н ы й А л т а й : 98-2/5 – барбышский метаморфический комплекс, гранат-биотитовый гнейс; хлорит-мусковитовые сланцы теректинского зеленосланцевого комплекса: 98-8/2 (р. Кастанахта), 98-8/17 (р. Кокса); 98-3/37 – хлорит-мусковитовый сланец уймонского существенно глаукофансланцевого комплекса (р. Деты-Кочек); южно-чуйский полиметаморфический комплекс: 95-11/7 – гранат-кианит-ставролитовый сланец, 95-7/2 – кордиерит-биотитовый сланец; 8-684/2 – песчаник горноалтайской серии (р. Чарыш); 95-1/3 – зеленокаменный песчаник горноалтайской серии (р. Тархата). З а п а д н ы й С а я н : хлорит-мусковитовые сланцы джебашского комплекса: Б-141 (р. Она), Б-267 (р. Енисей). К у з н е ц к и й А л а т а у : безгранатовые амфиболиты конжинского блока (R₃?): 93-2/31 и 93-5/11 – метабазальты MORB-типа, 93-6/1 – метамикрографобро MORB-типа; зеленые сланцы Амзасского блока (R₃?): 93-1/2 – метабазальты OIB-типа, 93-4/9 – метапикробазальт; безгранатовые амфиболиты (метабазальты OIB-типа) Сыйзасского блока (R₃?): 5233/1b, 3324/1, 5230/1, 3193/9, 5231. Авторы образцов: 8-684/2 – Н.Н. Крук, А.В. Плотников; Б-141, Б-267 – Г.А. Бабин; 93-2/31, 93-5/11, 93-6/1, 93-1/2, 93-4/9 – С.А. Каргополов, А.В. Плотников [9]; 5233/1b, 3324/1, 5230/1, 3193/9, 5231 – из коллекции ФГУПП “Запсибгеолсъемка”, пос. Елань; автор остальных образцов А.В.Плотников.

Пробы 95-11/7, 95-7/2, 95-1/3, 93-2/31, 93-5/11, 93-6/1, 93-1/2, 93-4/9, 5233/1b, 3324/1, 5230/1, 3193/9, 5231 проанализированы в ИГЕМ РАН, (Д.З. Журавлев). Изотопный анализ Sm проводился на масс-спектрометре МИ-1320; Nd анализировался на многоколлекторном масс-спектрометре “Finnigan MAT-262”. Нормирование изотопных отношений неодима осуществлялось по значению $^{146}\text{Nd}/^{144}\text{Nd} = 0.7219$. Точность определения Sm/Nd-отношения составляла ± 0.2 отн. %. Параллельные анализы стандартного образца изотопного состава неодима La Jolla дали средний результат $^{143}\text{Nd}/^{144}\text{Nd} = 0.511842 \pm 14$ ($N = 17, \pm 2\sigma$). Остальные пробы анализировались в ИГГД РАН (В.П. Ковач). Измерения концентрации и изотопного состава Sm и Nd проводились на многоколлекторном масс-спектрометре “Finnigan MAT-261” в статическом режиме. За период измерений значение отношения $^{143}\text{Nd}/^{144}\text{Nd}$ в стандарте La Jolla составило 0.511863 ± 8 . Измеренные отношения $^{143}\text{Nd}/^{144}\text{Nd}$ нормализованы к $^{148}\text{Nd}/^{144}\text{Nd} = 0.241578$, что соответствует отношению $^{146}\text{Nd}/^{144}\text{Nd} = 0.7219$, и приведены к $^{143}\text{Nd}/^{144}\text{Nd} = 0.511860$ в Nd-стандарте La Jolla. Результаты анализа стандартного образца BCR-2 (11 измерений): [Sm] = 6.51 ± 0.05 мкг/г, [Nd] = 28.51 ± 0.27 мкг/г, $^{147}\text{Sm}/^{144}\text{Nd} = 0.1379 \pm 0.0005$, $^{143}\text{Nd}/^{144}\text{Nd} = 0.512642 \pm 27$. Одной звездочкой отмечены модельные возраста, рассчитанные относительно деплетированной мантии (DM) с современными характеристиками $^{143}\text{Nd}/^{144}\text{Nd} = 0.513114$ и $^{147}\text{Sm}/^{144}\text{Nd} = 0.222$ по [14], двумя – модельные возраста по модели [15] с $^{143}\text{Nd}/^{144}\text{Nd} = 0.513151$ и $^{147}\text{Sm}/^{144}\text{Nd} = 0.21365$.

осадочных (метаморфизованных в ϵ_1 и S_2-D_1 [7]) пород Алтае-Монгольского террейна. Породы здесь наиболее низкотитанистые и низкожелезистые и, следовательно, являются более “зрелыми” по составу из известных в западной части АССО. Среди метаморфитов джебашской серии и теректинского комплекса им нет аналогов. Отложения горноалтайской серии также изучены в Северном Алтае (обр. 15). Здесь у пород более выражена “базитофильтность” по составу и более молодой возраст источников сноса ($T_{\text{Nd}}(\text{DM}) = 1.0$ млрд. лет). Однако и те, и другие породы горноалтайской серии по составу не могут рассматриваться как производные зрелой сиалической коры (рис. 2).

В Иртышской зоне смятия изучены гнейсы амфиболитовой фации согренского комплекса (P_1) (обр. 1), гранат-кианитовые сланцы предгорненского комплекса (обр. 2) и песчано-сланцевые породы такырской свиты (D_3) (обр. 11–13). Модельные возраста этих пород находятся в интервале $T_{\text{Nd}}(\text{DM}) = 1.2$ – 1.0 млрд. лет и аналогичны таким же метапелитам Теректинского и Джебашского блоков. В пределах Иртышской зоны также метаморфизованы и породы Рудно-Алтайского террейна. По хлоритоидному сланцу из этих образований получен модельный возраст $T_{\text{Nd}}(\text{DM}) = 0.6$ млрд. лет.

М е т а б а з и т о в ы е к о м п л е к с ы региона представлены метаморфизованными океаническими и островодужными базитами неопротерозойской коры Палеоазиатского океана [8, 9]. По уровню метаморфизма они относятся к зелено-сланцевой и эпидот-амфиболитовой фациям; в единичных случаях (в составе офиолитов) обнаруживаются линзы апоэклогитов и эклогитоподобных пород [10]. Изотопно-геохимические данные получены по океаническим метабазитам MORB- и OIB-типов в Кузнецком Алатау (Томский выступ) и в Западном Саяне (Джебашский блок): $T_{\text{Nd}}(\text{DM}) = 1.32$ – 0.60 млрд лет. При этом удвоение модельного возраста по отношению к известному возрасту наиболее древнего базальтоидного вулканизма R_3^2 [2, 11], возможно, объясняется изотопно-геохимической примесью плутоновой (OIB) компоненты (см. табл. 1).

О с н о в н ы е э т а п ы ф о� м и р о в а н и я континентальной коры. На приведенной на рис. 3 гистограмме распределения модельных Sm–Nd-возрастов отчетливо выделяются три пика, соответствующих главным рубежам формирования континентальной коры западной части АССО: раннегренвильский (1.5–1.3 млрд. лет; Алтае-Монгольский террейн), позднегренвильский (1.2–1.0 млрд. лет; Теректинский блок Горного Алтая и Калба-Нарымская зона Восточного Казахстана) и каледониды Алтая, Кузнецкого Алатау и Горной

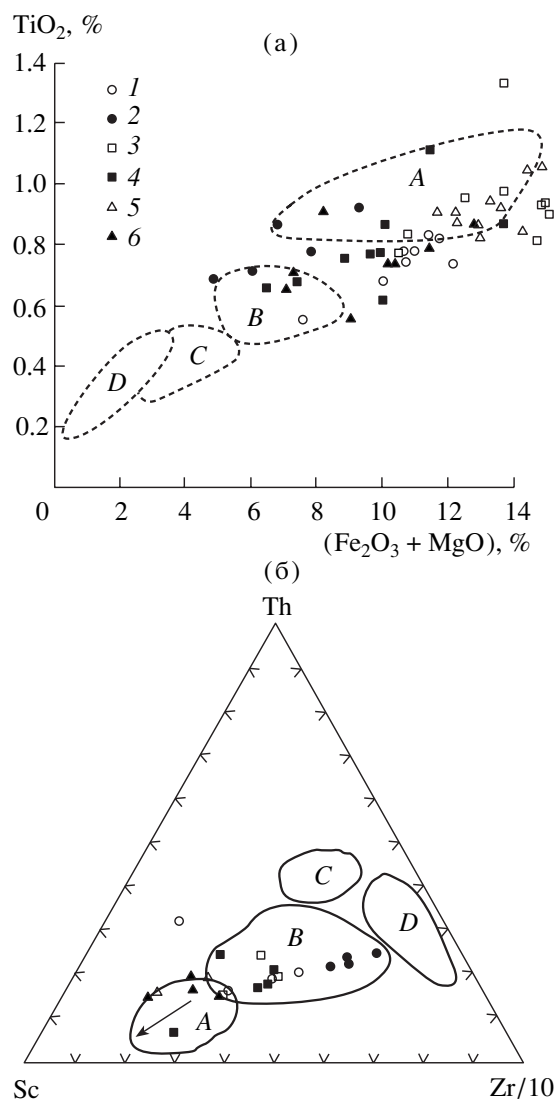


Рис. 2. Диаграммы для реконструкции источников сноса песчаников (а) [12] и граувак (б) [13] по валовому петрографическому составу с вынесенными представительными анализами метатерригенных и терригенных пород западной части АССО. Поля на диаграммах: *A* – область составов для продуктов разрушения примитивных островных дуг; *B* – островодужной коры переходного типа; *C* – активных континентальных окраин; *D* – пассивных континентальных окраин. Стрелкой показано направление тренда составов пород при наличии в песчаниках существенной доли глинистых минералов. 1 – глубокометаморфизованные породы Иртышской сдвиговой зоны (гранат-кианит-ставролитовые сланцы предгорненского комплекса и гранат-биотит-силиманитовые гнейсы согренского комплекса); 2 – песчаники и сланцы такырской свиты (D_3-C_1), примыкающие к Иртышской зоне; 3 – сланцы и гнейсы метапелитового состава южно-чуйского полиметаморфического комплекса; 4 – песчаники и сланцы горноалтайской серии, нерасщепленной ($V-\epsilon$); 5 – кордиеритовые и гранатовые гнейсы барбышского комплекса; 6 – метапелитовые сланцы теректинского зелено-сланцевого комплекса и уймонского существенно глаукофансланцевого комплекса.

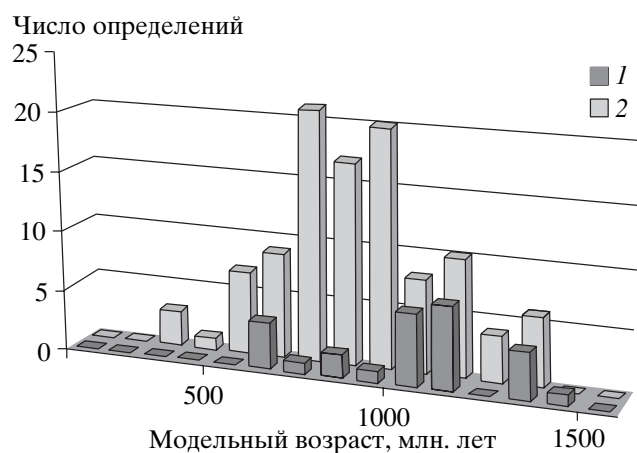


Рис. 3. Гистограмма модельных Sm–Nd-возрастов для западной части АССО. 1 – метаморфические и осадочные породы (27 определений); 2 – протолиты разновозрастных гранитоидов (56 определений [3]).

Шории). При этом модельные Sm–Nd-возрасты протолитов гранитоидов [3] в первых двух провинциях практически совпадают с модельными возрастами метаморфических пород, а в третьей – обнаруживают значительные колебания, обусловленные, на взгляд авторов, резкой неоднородностью изотопного состава литосферы Палеоазиатского океана, связанной с присутствием в ее составе плюмовой (OIB) компоненты.

Выводы. Полученные изотопно-геохимические данные свидетельствуют о том, что в западной части АССО разнотипные метапелиты и неметаморфизованные терригенно-осадочные породы (PZ_{1-2}) близки по составу и возрасту протолита. Усредненный возраст пород, за счет которых образовались осадки субстрата большинства метаморфитов, укладываются в интервал PR_{2-3} ($T_{Nd}(DM) = 1.2\text{--}1.0$ млрд. лет). Исключение составляют образования Алтас-Монгольского террейна с несколько более древним возрастом протолитов в интервале PR_2 ($T_{Nd}(DM) = 1.5\text{--}1.3$ млрд. лет). Примечательно, что имеющиеся данные согласуются с двухстадийными возрастами по гранитоидам региона [2, 3]. Анализ имеющихся данных показывает, что в западной части АССО отсутствуют геологические образования с раннепротерозойским возрастом протолита (фрагменты зрелого сиалического фундамента раннего протерозоя и др.). По составу протолита все изученные терригенные и метатерригенные породы наиболее близко отвечают островодужной коре переходного типа. Источником метабазитовых комплексов являются

oceанические и островодужные базальты Палеоазиатского океана, имевшие в своем составе значительную долю плюмовой (OIB) компоненты.

Авторы благодарят Г.А. Бабина, В.Г. Владимира, Н.В. Полянского, Б.А. Дьячкова, С.А. Каргополова и А.В. Титова, в разное время принявших участие в совместных полевых работах.

Работа выполнена при финансовой поддержке РФФИ (проекты 99-05-64727, 00-05-65309, 01-05-64260) и фонда “Выдающиеся ученые, молодые доктора и кандидаты наук”.

СПИСОК ЛИТЕРАТУРЫ

1. Коваленко В.И., Ярмолюк В.В., Ковач В.П. и др. // Геохимия. 1996. № 8. С. 699–712.
2. Владимиров А.Г., Пономарева А.П., Каргополов С.А. и др. // Стратиграфия. Геол. корреляция. 1999. Т. 7. № 5. С. 28–42.
3. Kruk N.N., Rudnev S.N., Vistavnoi S.A., Palesskiy S.V. // Continental Growth in the Phanerozoic: Evidence from Central Asia. IGCP-420, abstr. III Workshop. 6–16 August, 2001. Novosibirsk, 2001. Р. 68–72.
4. DePaolo D.J. Neodymium Isotope Geochemistry: An Introduction. N. Y. Springer, 1988. 187 p.
5. Добрецов Н.Л. // Петрология. 1995. Т. 3. № 1. С. 4–23.
6. Плотников А.В. Материалы XXXIII Тектонического совещания. Общие вопросы тектоники. Тектоника России. М.: ГЕОС, 2000. С. 400–402.
7. Плотников А.В., Титов А.В., Крук Н.Н. и др. // Геология и геофизика, 2001. Т. 42. № 9. С. 1333–1347.
8. Добрецов Н.Л., Симонов В.А., Буслов М.М., Куренков С.А. // Геология и геофизика. 1992. № 12. С. 3–14.
9. Плотников А.В., Ступаков С.И., Бабин Г.А. и др. // ДАН. 2000. Т. 372. № 1. С. 80–85.
10. Добрецов Н.Л., Берзин Н.А., Буслов М.М., Ермиков В.Д. // Геология и геофизика. 1995. № 10. С. 5–19.
11. Шокальский С.П., Бабин Г.А., Владимиров А.Г. и др. Корреляция магматических и метаморфических комплексов западной части Алтас-Саянской складчатой области. Новосибирск: Изд-во СО РАН; Филиал “Гео”. 2000. 187 с.
12. Bhatia M.R. // J. Geol. 1983. V. 91. P. 611–627.
13. Bhatia M.R., Crook K.A.W. // Contribs. Mineral and Petrol. 1986. V. 92. P. 181–193.
14. Фор Г. Основы изотопной геологии. М.: Мир, 1989, 584 с.
15. Goldstein S.J., Jacobsen S.B. // Earth and Planet. Sci. Lett. 1988. V. 87. P. 249–265.